



Article

Un procédé efficace et écologique pour les électrophiles Thiocyanation des Anilines et 1-(Substitué benzylidène)-2-phénylhydrazines

AMM Mallikarjunaswamy et Vipin A. Nair 4,*

- ¹, Gouthami Kuruvalli ², Khajamohiddin Syed ^{3,*} , Vaddi Damodara Reddy ^{2,3}
- Département de chimie, École des sciences appliquées, Université REVA, Yelahanka, Bangalore 560064, Karnataka, Inde
- Département de biotechnologie, École des sciences appliquées, Université REVA, Yelahanka, Bangalore 560064, Karnataka, Inde
- Département de biochimie et microbiologie, Faculté des sciences, d'agriculture et d'ingénierie, Université du Zululand, KwaDlangezwa 3886, Afrique du Sud
- École de biotechnologie, Amrita Vishwa Vidyapeetham, Campus Amritapuri, Clappana, Kollam 690525, Kerala, Inde
- * Correspondance: khajamohiddinsyed@gmail.com (KS); vn74nr@gmail.com (VAN)

Résumé: Les thiocyanates forment une classe importante de composés organiques que l'on trouve couramment dans les produits qui présentent une excellente activité antimicrobienne. La thiocyanation électrophile est l'une des méthodes les plus efficaces pour introduire un groupe fonctionnel -SCN dans la molécule organique mère. Dans ce travail, nous avons exploré une méthode écologique et très efficace pour la thiocyanation des anilines et 1-(benzylidène substitué)-2-phénylhydrazines utilisant du N-bromoscuccinimide disponible dans le commerce (NBS) et thiocyanate de potassium (KSCN). Le protocole optimisé a permis d'obtenir des thiocyanates avec de bons régiosélectivité et excellents rendements par rapport aux méthodes disponibles.

Mots clés: N-bromosuccinimide; KSCN; des amines aromatiques; bases de schiff; thiocyanation électrophile



Citation: Mallikarjunaswamy,
AMM; Kuruvalli, G.; Syed, K.;
Reddy, VD; Nair, VA Un Efficace
et une procédure écologique pour
Thiocyanation électrophile de
Anilines et 1-(substitué
benzylidène)-2-phénylhydrazines.
Chimie 2024, 6, 476-488. https://
est ce que je.org/10.3390/chemistry6030027

Rédacteur académique : Angelo Frongia

Reçu : 23 avril 2024 Révisé : 23 mai 2024 Accepté : 26 mai 2024 Publié : 10 juin 2024



4.0/)

Copyright: © 2024 par les auteurs.
Licencié MDPI, Bâle, Suisse.
Cet article est un article en libre accès distribué selon les termes et conditions des Creative Commons
Licence d'attribution (CC BY) (https://creativecommons.org/licenses/by/

1. Introduction

La thiocyanation des composés aromatiques et hétéroaromatiques représente une transformation cruciale avec des implications à la fois pour la synthèse organique et pour les produits pharmaceutiques [1,2]. Ces dernières années, les composés aromatiques soufrés ont suscité un attrait considérable en raison de leurs diverses activités biologiques. Parmi ces composés, les thiocyanat constituent une classe importante, servant d'éléments de base clés dans la synthèse des composés actifs. Les thiocyanates présentent une réactivité polyvalente, conduisant à la formation de thiols [3], chlorures de sulfonyle [4], sulfures [5], sulfures de trifluorométhyle (ou difluorométhyle) [6,7], disulfures [8], phosphonothioates [9] et autres hétérocycles contenant du soufre [10 ,11]. Ce groupe fonctionnel est bien établi dans de nombreux produits naturels [12-17] et composés synthétiques les présentant comme enzyme potentielle inhibiteurs (Figure 1), avec des applications allant du traitement de la maladie de Chagas [18,19] et cancer [20,21] aux considérations plus récentes sur le COVID-19 [22].

Diverses méthodes ont été utilisées pour la thiocyanation de systèmes aromatiques utilisant différents réactifs. Par exemple, la thiocyanation des indoles et des carbazoles a été réalisée en utilisant le thiocyanate d'ammonium par des réactions médiées par l'argile montmorillonite K 10 [23]. La thiocyanation des alcools, des éthers triméthylsilyliques et tétrahydropyranyliques a été réalisée en utilisant un liquide ionique de diphénylphosphinite [24]. Le peroxydisulfate-Cu(II), comme oxydant, a été utilisé pour l' α-thiocyanation des composés carbonyle et β-dicarbonyle [25]. Thiocyanation de les composés aromatiques ont été réalisés par oxydation anodique de l'anion thiocyanate en SCN radicale [26]. Les indoles et le pyrrole réagissent avec le thiocyanate d'ammonium dans le

au radical SCN [26]. Les indoles et le pyrrole subissent une réaction avec le thiocyanate d'ammonium epresénce de alacide de lo doxybenenzo que y 2 14.71 els en dodels en retiété conveyert le redetives cyranaro contespondants loss d'un traitement avec du thincognate d'ammonium en présence de dérivés thincognate de petallène Procédure adérién ear le NAP à mété développée pour la thinexanation de d'acide toluène es vilonique. (28). thiocya-cyclohexène dans des conditions douces (29) diating de N-exydes

Higguree 11. (A) CConversions: eppéssentatives culut thiopy anabecen citiffée ents s' fraggneents s' fonotitonmets (3,75,6110); Quelque anthing yang to comments) (B) produits unature (continhibite una plane) yet.

Physiaeurs méthodes contétécs sayées pour las voltiès ede la thioxy anatoamiline. Répeteur jamen thichiocataatammaniumude l'acide trichloroisocyanurique et du SiO22 humide adonné le produit avec gárafra ticacate in/acidalonarocolare um daverennes y étérog érédé a garana e le oxidation utéranium par ogéanéation dansunssbrant dichthoronéthanel (30). Parmilessautrescoxydents l'avechtinode d'apientbinavanata, le ndraturian mender interior de la company Le price retende a editure dariliter ásinle regulam en ruis a la renum la tréaction cacht de a l'échonnes de l'icele n utiliaantole lacide erftinisaalecel lacide lacendiseldiacearcel en la totte estruction and another control lacend êtedicanarreépen utilisent de l'expere d'anns un roili qui xoéthadalique mathan un denaes aus de transfermation anilecide actione l'alternation de les represents au des sen le servateire de l'estre de l'estre de l'estre les represents de les represents de les represents de les represents de la company de la c conversion netilise de l'azodica choxylata da diétada canualina a cétonitril pla Gal Rea conditions alum de 450s. Unestantative plus douce utilisant du chlorure fertilisse autorité dans du chlorure fertilisse autorité dans du la pris dichlereméthane umais a permis d'obtenir un rendement appréciable (371, L'irradiation par micro-ondes appréciable 1373 : hieradiation par reicro-podes a été explorée en utilisant de l'alumine acide da l'alumine acide [38]. Médiation DDO thiocyanation de la capacité donneuse d'électrons du novau aromatique [39]. Les tentatives pour obtenir le produit avec des substrats dépendent de la capacité du novau aromatique à donner des électrons [39]. Les tentatives concernant le pentoxyde d'iode n'étajent pas encourageantes n'étaient pas encourageants [40]. La thiocyanation donne des rendements, mais le chloroforme a été utilise comme solvant [41]. Avec le peroxyde d'hydrogene ou l'acide lodique periodique, on a obtenu de bons ren

acide, la réaction a été réalisée en milieu aqueux [42]. Le dichloroidodobenzène favorise la réaction à 0 °C en milieu dichlorométhane [43]. Malgré ces progrès, les méthodes employées présentent une ou plusieurs limitations, telles qu'un faible rendement, une portée de substrat étroite, un solvant halogéné ou toxique, la nécessité d'une quantité excessive de réactif oxydant fort, des conditions acides, une phase réactionnelle hétérogène, de mauvaises performances, un milieu anhydre, temps de réaction long, atmosphère inerte et conditions de réaction strictes avec une évolutivité difficile. Par conséquent, il existe un besoin non satisfait de développer un procédé efficace pour synthétiser des dérivés thiocyanates d'anilines. Une procédure simple de thiocyana-tion a été démontrée sur des substrats arènes en utilisant le N-thiocyanatosuccinimide (NTS) [44].

Cependant, la portée de cette stratégie n'a pas été largement explorée pour les dérivés de l'aniline et les 1-(benzylidène substitué)-2-phénylhydrazines. Nous avons donc décidé d'étudier les réactions de thiocyanation électrophile de ces substrats dans des conditions respectueuses de l'environnement en utilisant du N-bromosuccinimide et du thiocyanate de potassium dans un milieu éthanol.

2. Section expérimentale 2.1. Matériels et méthodes

Tous les produits chimiques ont été obtenus auprès de fournisseurs commerciaux et utilisés sans autre purification. Les réactions ont été réalisées dans de la verrerie séchée au four et maintenues dans des conditions atmosphériques appropriées. Pour suivre la progression des réactions, une chromatographie sur couche mince (CCM) a été utilisée, en particulier des plaques de gel de silice Merck 60 F254 de 0,25 mm et la visualisation a été réalisée à l'aide de la lumière UV. En chromatographie sur colonne, du gel de silice de 60 à 120 mesh a été utilisé comme phase stationnaire. L'élution a été réalisée en utilisant un mélange d'hexane et d'acétate d'éthyle comme phase mobile. Les spectres de résonance magnétique nucléaire (RMN) ont été enregistrés à l'aide d'un spectromètre Jeol ECZ 400R fonctionnant à 400 MHz pour la RMN 1H et à 100 MHz pour la RMN 13C. Le CDCl3 a été utilisé comme solvant et le tétraméthylsilane (TMS) a servi d'étalon interne. Des déplacements chimiques (δ) ont été rapportés par rapport aux signaux de solvant résiduel, en particulier 7, 25 ppm pour la RMN 1H et un triplet centré à 77, 00 ppm pour la RMN 13C. L'analyse par spectrométrie de masse a été réalisée à l'aide d'un spectromètre de masse quadripolaire Agilent à temps de vol ESI (ionisation par électrospray). Les spectres IR ont été enregistrés sur un spectrophotomètre Bruker Alpha II FTIR. (i) Procédure générale pour la synthèse des analogues de la thiocyanatoaniline

À une solution de N-bromosuccinimide (1,0 mmol) dans EtOH (10 ml), du KSCN (2,1 mmol) a été ajouté et agité à température ambiante (27 °C) pendant 5 min. A cette solution, de l'aniline substituée (1,0 mmol) a été ajoutée et le mélange réactionnel a été agité à température ambiante (27 °C) pendant 20 min. Le mélange réactionnel a été concentré, dilué avec de l'eau et extrait trois fois avec EtOAc. Les extraits organiques combinés ont été concentrés sous vide et le brut résultant a été soumis à une purification par chromatographie sur colonne de gel de silice (60-120 mesh) en utilisant un mélange hexane-acétate d'éthyle (10:1) comme phase mobile pour obtenir le produit souhaité. . 4-thiocyanatoaniline (1a) [30] : Solide brun pâle ; Rendement 98 % ; mp = 52-53 °C ; IR (vmax, cm-1) : 3374,27, 2152,01, 1707,83

1625,05, 1594,80, 1495,78, 1428,12, 1361,05, 1301,37, 1221,64, 1179,07,

1129.30, 1085.54, 824.74, 676.97 ; RMN 1H (400 MHz, CDCl3) δ ppm : 7,31 à 7,34 (m, 2H, Ar), 6,63 à 6,66 (m, 2H, Ar), 3,97 (s, 2H, NH2) ; RMN 13C (100 MHz, CDCl3) δ ppm : 148,9, 134,6, 116,2, 112,5, 109,6 ; HRMS (ESI) : m/z calculé. pour C7H6N2S [M+H]+ : 151,0252; trouvé : 151.0486.

2-chloro-4-thiocyanatoaniline (1b) [39] : Solide blanc ; Rendement 96 % ; mp = 64-66 $^{\circ}$ C ; IR (vmax, cm-1) : 3474,59, 3372,59, 3233,14, 2925,76, 2154,54, 2054,68, 1623,93, 1591,81, 1476,32, 1420,75, 1315,22, 1239,46, 3.23, 1020.23, 902.03, 849.96, 813.39 ; RMN 1H (400 MHz, CDCl3) $^{\circ}$ ppm : 7,48 (d, 1H, Ar), 7,25 $^{\circ}$ 7,28 (m, 1H, Ar), 6,75 (d, 1H, Ar), 4,38 (s, 2H, NH2) ; RMN 13C (100 MHz, CDCl3) $^{\circ}$ ppm : 145,4, 133,9, 132,7, 119,8, 116,5, 111,7, 110,1 ; HRMS (ESI) : m/z calculé. pour C7H5ClN2S [M + H]+ : 184,9864; trouvé : 184.9975.

2-méthyl-4-thiocyanatoaniline (1c) [42] : Solide blanc crème ; Rendement 96 % ; mp = 68-70 °C ; IR (vmax, cm-1) : 3449,59, 3368,62, 3246,89, 2924,89, 2150,60, 1628,89, 1592,12, 1568,60, 1491,02, 1454,53, 1402,63, 1296,51, 3,92, 1091,96, 1032,18, 995,58, 885,14, 814,70, 719,01 ; RMN 1H (400 MHz, CDCl3) δ ppm : 7,24 à 7,26 (m, 1H, Ar), 7,20 à 7,23 (m, 1H, Ar), 6,59 à 6,68 (m, 1H, Ar), 3,90 (s, 2H, NH2), 2,13 (s, 3H, CH3) ; RMN 13C (100 MHz, CDCl3) δ ppm : 147,2, 135,1, 132,2, 124,0, 115,8, 112,7, 109,3, 17,3 ; HRMS (ESI) : m/z calculé. pour C8H8N2S [M+H] + : 165,0408; trouvé : 165.0509.

4-méthyl-2-thiocyanatoaniline (1d) : Solide blanc ; Rendement 97 % ; mp = 80-82 $^{\circ}$ C ; RMN 1H (400 MHz, CDCl3) $^{\circ}$ ppm : 7,34 (d, 1H, Ar), 6,56–6,58 (m, 1H, Ar), 6,46–6,50 (m, 1H, Ar), 3,91 (s, 2H, NH2) , 2,43 (s, 3H, CH3); RMN 13C (100 MHz, CDCl3) $^{\circ}$ ppm : 149,5, 143,1, 136,4, 117,4, 113,8, 112,2, 109,1, 21,0 ; HRMS (ESI) : m/z calculé. pour C8H8N2S [M+H]+ : 165,0408; trouvé : 165.641.

2,3-dichloro-4-thiocyanatoaniline (1e) : Solide jaune ; Rendement 96 % ; mp = 75-77 $^{\circ}$ C ; IR (vmax, cm-1) : 3333,01, 3226,89, 2925,74, 2161,17, 1708,24, 1629,63, 1577,77, 1539,59, 1466,44, 1393,56, 1359,26, 1323,83, 4,70, 1220,32, 1181,86, 1109,75, 1056,51, 919,81, 813,47, 773,60 ; RMN 1H (400 MHz, CDCl3) δ ppm : 7,39 (d, 1H, Ar), 6,70 (d, 1H, Ar), 4,50 (s, 2H, NH2) ; RMN 13C (100 MHz, CDCl3) δ ppm : 146,5, 135,5, 132,0, 118,9, 114,1, 110,6, 110,5 ; HRMS (ESI) : m/z calculé. pour C7H4Cl2N2S [M + H]+ : 217,9472; trouvé : 217.0195.

2-fluoro-4-thiocyanatoaniline (1f) : Solide jaune pâle ; Rendement 95 % ; mp = 61-63 °C ; IR (vmax, cm-1) : 3474,59, 3372,59, 3233,14, 2925,76, 2154,54, 2054,68, 1623,93, 1591,81, 1476,32, 1420,75, 1315,22, 1239,46, 3.23, 1020.23, 902.03, 849.96, 813.39 ; RMN 1H (400 MHz, CDCl3) δ ppm : 7,19 à 7,23 (m, 1H, Ar), 7,12 à 7,16 (m, 1H, Ar), 6,73 à 6,78 (m, 1H, Ar), 4,09 (s, 2H, NH2); RMN 13C (100 MHz, CDCl3) δ ppm : 152,2, 149,8, 137,6, 129,9, 120,0, 117,4, 111,8 ; HRMS (ESI) : m/z calculé. pour C7H5FN2S [M+H]+ : 169,0157; trouvé : 169.0281.

4-fluoro-2-thiocyanatoaniline (1g) : Solide jaune pâle ; Rendement 96 % ; mp = 76-78 °C ; RMN 1H (400 MHz, CDCl3) δ ppm : 7,44 à 7,48 (m, 1H, Ar), 7,26 à 7,30 (m, 1H, Ar), 6,99 à 7,05 (m, 1H, Ar), 5,42 (s, 2H, NH2); RMN 13C (100 MHz, CDCl3) δ ppm : 160,0, 119,8, 119,7, 114,0, 113,7, 107,9, 107,6 ; HRMS (ESI) : m/z calculé. pour C7H5FN2S [M+H]+ : 169,0157; trouvé : 169.0281.

3-chloro-4-thiocyanatoaniline (1h) : Solide jaune ; Rendement 97 % ; mp = 70–72 °C ; IR (vmax, cm–1) : 3474,59, 3372,59, 3233,14, 2925,76, 2154,54, 2054,68, 1623,93, 1591,81, 1476,32, 1420,75, 1315,22, 1239,46, 3.23, 1020.23, 902.03, 849.96, 813.39 ; RMN 1H (400 MHz, CDCl3) δ ppm : 7,39 à 7,40 (m, 1H, Ar), 6,75 à 6,77 (m, 1H, Ar), 6,54 à 6,57 (m, 1H, Ar), 4,08 (s, 2H, NH2); RMN 13C (100 MHz, CDCl3) δ ppm : 150,0, 137,8, 135,4, 116,2, 114,6, 111,2, 108,7 ; HRMS (ESI) : m/z calculé. pour C7H5ClN2S [M + H]+ : 184,9862; trouvé : 184.9978. 3,5-dichloro-4-

thiocyanatoaniline (1i): Solide blanc crème ; Rendement 96 % ; mp = 65-67 °C ; IR (vmax, cm-1) : 3408,88, 3333,01, 3226,89, 2925,74, 2161,17, 1708,24, 1629,63, 1577,77, 1539,59, 1466,44, 1393,56, 1359,26, 3,83, 1294,70, 1220,32, 1181,86, 1109,75, 1056,51, 919,81, 813,47, 773,60 ; RMN 1H (400 MHz, CDCl3) δ ppm : 6,71 à 6,73 (m, 2H, Ar), 4,15 (s, 2H, NH2) ; RMN 13C (100 MHz, CDCl3) δ ppm : 150,4, 141,7, 114,9, 110,0, 107,9 ; HRMS (ESI) : m/z calculé. pour C7H4Cl2N2S [M + H]+ : 218,9472; trouvé : 218.9472. 3-méthyl-4-

thiocyanatoaniline (1j) [42] : Solide jaune ; Rendement 96 % ; mp = 81-83 °C ; IR (vmax, cm-1) : 3427,48, 3339,89, 3213,03, 2920,65, 2146,96, 1708,08, 1625,62, 1592,74, 1481,86, 1453,57, 1360,12, 1325,91, 4,65, 1221,13, 1139,17, 1034,00, 858,95, 817,13, 739,36, 671,84 ; RMN 1H (400 MHz, CDCl3) δ ppm : 7,34 (d, 1H, Ar), 6,56–6,59 (m, 1H, Ar), 6,46–6,50 (m, 1H, Ar), 3,91 (s, 2H, NH2) , 2,44 (s, 3H, CH3); RMN 13C (100 MHz, CDCl3) δ ppm : 149,5, 143,1, 136,4, 117,4, 113,8, 112,2, 109,1, 21,0 ; HRMS (ESI) : m/z calculé. pour C8H8N2S [M+H]+ : 165,0408; trouvé : 165.0754. 2-méthoxy-4-thiocyanatoaniline (1k) : Solide

blanc ; Rendement 96 % ; mp = 52-54 $^{\circ}$ C ; IR (vmax, cm-1) : 3449,59, 3368,62, 3246,89, 2924,89, 2150,60, 1628,89, 1592,12, 1568,60, 1491,02, 1454,53, 1402,63, 1296,51, 3,92, 1091,96, 1032,18, 995,58, 885,14, 814,70, 719,01 ; RMN 1H (400 MHz, CDCl3) $^{\circ}$ ppm : 6,99 à 7,02 (m, 1H, Ar), 6,94 (d, 1H, Ar), 6,64 à 6,68 (m, 1H, Ar), 4,08 (s, 2H, NH2) , 3,86 (s, 3H, OCH3); RMN 13C (100 MHz, CDCl3) $^{\circ}$ ppm : 147,7, 139,1, 126,9, 115,0, 114,6, 112,5, 109,0, 55,8 ; HRMS (ESI) : m/z calculé. pour C8H8N2OS [M+H]+ : 181,0352; trouvé : 181.0760.

2,6-diméthyl-4-thiocyanatoaniline (1 I) [30] : Solide blanc ; Rendement 97 % ; mp = 85-87 $^{\circ}$ C ; IR (vmax, cm-1) : 3412,21, 3343,82, 2971,60, 2151,47, 1709,41, 1636,90, 1582,66, 1465,66, 1438,27, 1360,04, 1284,95, 1221,05, 3,24, 1027,29, 867,69, 746,19, 731,58 ; RMN 1H (400 MHz, CDCl3) $^{\circ}$ 0 ppm : 7,15 $^{\circ}$ 2 7,16 (m, 2H, Ar), 3,82 (s, 2H, NH2), 2,15 (m, 6H, 2 × CH3) ; RMN 13C (100 MHz, CDCl3) $^{\circ}$ 0 ppm : 145,3, 132,9, 123,2, 112,8, 108,6, 17,5 ; HRMS (ESI) : m/z calculé. pour C9H10N2S [M+H]+ : 179,0565; trouvé : 179.095. 4-bromo-2-thiocyanatoaniline (1m) : Solide jaune ; Rendement 98 % ; mp = 73-75 $^{\circ}$ C ; IR (vmax, cm-1) :

 $3474,59,\,3372,59,\,3233,14,\,2925,76,\,2154,54,\,2054,68,\,1623,93,\,1591,81,\,1476,32,\,1420,75,\,1315,22,\,1239,46,\,3.23,\,1020.23,\,902.03,\,849.96,\,813.39$; RMN 1H (400 MHz, CDCl3) δ ppm : 7,44 à 7,48 (m, 1H, Ar), 7,26 à 7,30 (m, 1H, Ar), 6,99 à 7,05 (m, 1H, Ar), 5,49 (s, 2H, NH2); RMN 13C (100 MHz, CDCl3) δ ppm : 160,0, 119,8, 119,7, 114,0, 113,7, 107,9, 107,6; HRMS (ESI) : m/z calculé. pour C7H5BrN2S [M+H]+ : 230,9357; trouvé : 230.9581. 4-méthoxy-2-thiocyanatoaniline (1n) : Solide jaune pâle ; Rendement 96 % ; mp = 100-102 °C ; RMN 1H (400 MHz, CDCl3) δ ppm : 6,99 à 7,02 (m, 1H, Ar), 6,94 (d, 1H, Ar), 6,65 à 6,67 (m, 1H, Ar), 4,08 (s, 2H, NH2) ,

3,86 (s, 3H, OCH3); RMN 13C (100 MHz, CDCl3) δ ppm : 147,7, 139,1, 126,9, 115,0, 114,6, 112,5, 109,0, 55,8 ; HRMS (ESI) : m/z calculé. pour C8H8N2OS [M+H]+ : 181,0357; trouvé : 181.0557. 2,4-diméthyl-6-thiocyanatoaniline (10) : Solide blanc ; Rendement 96 % ; mp = 75-76 °C ; RMN 1H (400 MHz, CDCl3) δ ppm : 7,21 à 7,23 (m, 1H, Ar), 6,92 à 6,94 (m, 1H, Ar), 5,65 (s, 2H, NH2), 2,50 (s, 3H, CH3) , 2,35 (s, 3H, CH3); RMN 13C (100 MHz, CDCl3) δ ppm : 164.8, 148.9, 132.0, 131.3, 128.4.

128,3, 118,5, 21,3, 18,5 ; HRMS (ESI) : m/z calculé. pour C9H10N2S [M+H]+ : 179,0565; trouvé : 179.0882. 4-chloro-2-thiocyanatoaniline (1p) : Solide jaune ; Rendement 98 % ; mp = 69-71 $^{\circ}$ C ; RMN 1H (400 MHz, CDCl3) $^{\circ}$ ppm : 7,44 à 7,48 (m, 1H, Ar), 7,26 à 7,30 (m, 1H, Ar), 6,99 à 7,05 (m, 1H, Ar), 5,40 (s, 2H, NH2); RMN 13C (100 MHz, CDCl3) $^{\circ}$ ppm : 160,0, 119,8, 119,7, 114,0, 113,7, 107,9, 107,6 ; HRMS (ESI) : m/z calculé. pour C7H5ClN2S [M + H] + : 184,9862; trouvé : 185.0111.

(ii) Procédure générale pour la synthèse du (E)-1-benzylidène-2-(4-thiocyanatophényl) substitué analogues de l'hydrazine.

À une solution de N-bromosuccinimide (1,0 mmol) dans EtOH (10 ml), du KSCN (2,1 mmol) a été ajouté et agité à température ambiante (27 °C) pendant 5 min. A cette solution, de la 1-(benzylidène substitué)-2-phénylhydrazine (1,0 mmol) a été ajoutée et le mélange réactionnel a été agité à température ambiante (27 °C) pendant 20 min. Le mélange réactionnel a été concentré, dilué avec de l'eau et extrait trois fois avec EtOAc. Les extraits organiques combinés ont été concentrés sous vide et le brut résultant a été soumis à une purification par chromatographie sur colonne de gel de silice (60-120 mesh) en utilisant un mélange hexane-acétate d'éthyle (10:1) comme phase mobile pour obtenir le produit souhaité. . 1-benzylidène-2-(4-thiocyanatophényl)hydrazine (2a) : solide jaune ; Rendement 95 % ; mp = 112-114 °C ; IR (vmax, cm-1) : 3479,12, 3373,20, 2155,30,

1707,64, 1625,34, 1589,70, 1544,17, 1494,36, 1444,08, 1422,36, 1358,39, 1304,85, 9,80, 1220,69, 1191,30, 1138,59, 1067,28, 1026,73, 953,13,

928.58, 842.48, 802.17, 755.39 ; RMN 1H (400 MHz, CDCl3) δ ppm : 7,80 (s, 1H, NH), 7,71 (s, 1H, CH), 7,64-7,66 (m, 2H, Ar), 7,44-7,47 (m, 2H, Ar) , 7,31 à 7,40 (m, 3H, Ar), 7,11 à 7,14 (m, 2H, Ar) ; RMN 13C (100 MHz, CDCl3) δ ppm : 146,6, 139,4, 134,7, 134,2, 129,2, 128,8, 126,6, 114,2, 112,2, 111,6 ; HRMS (ESI) : m/z calculé. pour C14H11N3S [M+H]+ : 254,0674; trouvé : 254.0794.

 $1-(2\text{-bromobenzylidène})-2-(4\text{-thiocyanatophényl}) \text{hydrazine} \ (2b): \text{Solide blanc}; \text{ Rendement } 80\ \%; \text{ mp} = 146\text{-}148\ ^{\circ}\text{C}; \text{ IR (vmax, cm-1)}: 3477,89, 3372,94, 2926,24, 2155,71, 1708,75, 1625,84, 1590,34, 1544,08, 1494,31, 1443,82, 1422,32, 1358,46, 4,64, 1259,70, 1220,31, 1191,54, 1133,84, 1092,93, 1067,24, 1026,65, 928,31, 842.62, 802.07, 755.02, 693.91; RMN 1H (400 MHz, CDCl3) <math>\delta$ ppm: 8,11 (s, 1H, NH), 8,03 (s, 1H, CH), 8,01 (s, 1H, Ar), 7,52–7,56 (m, 1H, Ar), 7,46 –7,48 (m, 2H, Ar), 7,31–7,34 (m, 1H, Ar), 7,13–7,18 (m, 3H, Ar), RMN 13C (100 MHz, CDCl3) δ ppm: 146,2, 138,1, 134,1, 133,6, 133,1, 130,2, 127,7, 127,2, 123,16, 114,3, 112,3, 112,0; HRMS (ESI): m/z calculé. pour C14H10BrN3S [M + H]+: 333,9779; trouvé: 333.9846.

 $1-(2\text{-chlorobenzylidène})-2-(4\text{-thiocyanatophényl})\text{hydrazine (2c)}: Solide brun pâle ; Rendement 90 \% ; mp = 113-114 °C ; IR (vmax, cm-1): 3480,27, 3374,88, 2926,24, 2155,25, 1707,39, 1625,72, 1590,60, 1544,19, 1494,22, 1444,23, 1422,36, 1358,23, 3.22, 1259.94, 1221.15, 1191.24, 1135.16 , 1067.31, 1026.67, 928.27, 842.70 , 802.17, 754.81 ; RMN 1H (400 MHz, CDCl3) <math>\delta$ ppm : 8,14 (s, 1H, NH), 8,05 (s, 1H, CH), 8,01 à 8,03 (m, 1H, Ar), 7,47 à 7,48 (m, 1H, Ar) , 7,45 à 7,46 (m, 1H, Ar), 7,34 à 7,36 (m, 1H, Ar), 7,25 à 7,29 (m, 2H, Ar), 7,13 à 7,15 (m, 2H, Ar) ; RMN 13C (100 MHz, CDCl3) δ ppm : 146,2, 135,8, 135,7, 134,1, 133,1, 132,1, 129,9, 127,1, 126,8, 114,3, 112,2, 112,1 ; HRMS (ESI) : m/z calculé. pour C14H10ClN3S [M + H]+ : 288,0284; trouvé : 288.0384.

 $1-(3-\text{bromobenzylidène})-2-(4-\text{thiocyanatophényl})\text{hydrazine} \ (2d): Solide \ blanc; \ Rendement \ 83\%; \ mp=119-121°C; \ IR (vmax, cm-1): 3474,59, 3372,59, 3233,14, 2925,76, 2154,54, 2054,68, 1623,93, 1591,81, 1476,32, 1420,75, 1315,22, 1239,46, 3.23, 1020.23, 902.03, 849.96, 813.39; \\ RMN 1H (400 MHz, CDCl3) \delta ppm: 7,86 (s, 1H, NH), 7,81 (s, 1H, CH), 7,63 (s, 1H, Ar), 7,53 (d, 1H, Ar), 7,41-7,50 (m, 3H, Ar), 7,25 (s, 1H, Ar), 7,12 (m, 2H, Ar); RMN 13C (100 MHz, CDCl3) \delta ppm: 146,1, 137,4, 136,8, 134,1, 131,9, 130,3, 129,1, 125,2, 123,0, 114,3, 112,3, 112,0; HRMS (ESI): m/z calculé, pour C14H10BrN3S [M+H]+: 333,9779; trouvé: 333,9831.$

 $\begin{array}{l} 1\text{-}(4\text{-}chlorobenzylid\`{e}ne)-2\text{-}(4\text{-}thiocyanatoph\acute{e}nyl)hydrazine} \ (2e): Solide jaune pâle ; Rendement 90 \% ; mp \\ = 120\text{-}122 °C ; IR (vmax, cm-1): 3449,59, 3368,62, 3246,89, 2924,89, 2150,60, 1628,89, 1592,12, 1568,60, 1491,02, 1454,53, 1402,63, 1296,51, 3,92, 1091,96, 1032,18, 995,58, 885,14, \\ 814.70, 719.01, 671.25 ; RMN 1H (400 MHz, CDCl3) <math>\delta$ ppm : 7,81 (s, 1H, NH), 7,67 (s, 1H, CH), 7,56-7,59 (m, 2H, Ar), 7,45-7,48 (m, 2H, Ar), 7,33-7,36 (m, 2H, Ar), 7,11-7,14 (m, 2H, Ar); RMN 13C (100 MHz, CDCl3) δ ppm : 146,3, 138,0, 134,9, 134,1, 133,2, 129,0, 127,6, 114,2, 112,1, 112,0 ; HRMS (ESI) : m/z calculé. pour C14H10ClN3S [M + H]+ : 288,0284; trouvé : 288.0461. 1-(4-fluorobenzylidène)-2-(4-thiocyanatophényl)hydrazine (2f) : Solide blanc ; Rendement 87 % ; mp = 125-127 °C ; IR (vmax, cm-1) : 3477,89, 3372,94, 2926,24, 2155,71, 1708,75, 1625,84, 1590,34, 1544,08, 1494,31, 1443,82, 1422,32, 1358,46, 4,64, 1259,70, 1220,31, 1191,54, 1133,84, 1092,93, 1067,24, 1026,65, 928,31, 842.62, 802.07, 755.02, 693.91 ; RMN 1H (400 MHz, CDCl3) δ ppm : 7,78 (s, 1H, NH), 7,69 (s, 1H, CH), 7,61-7,65 (m, 2H, Ar), 7,44-7,47 (m, 2H, Ar), 7,05-7,13 (m, 4H, Ar); RMN 13C (100 MHz, CDCl3) δ ppm : 146,5, 138,2, 134,2, 128,3, 128,2, 116,0, 115,8, 114,1, 112,1, 111,7 ; HRMS (ESI) : m/z calculé. pour C14H10FN3S [M+H]+ : 272,0579; trouvé : 272.0639. 1-(4-nitrobenzylidène)-2-(4-thiocyanatophényl)hydrazine (2 g) : solide orange ; Rendement 93 % ; mp = 143-145 °C ; RMN 1H (400 MHz, CDCl3) δ ppm : 8,25 (s, 1H, NH),

8,23 (s, 1H, CH), 8,09 (s, 1H, Ar), 7,74–7,81 (m, 3H, Ar), 7,50 (d, 2H, Ar), 7,18 (d, 2H, Ar); RMN 13C (100 MHz, CDCl3) δ ppm : 146,3, 138,0, 134,9, 134,1, 133,2, 129,0, 127,6, 114,2, 112,1, 112,0 ; HRMS (ESI) : m/z calculé. pour C14H10N4O2S [M + H]+ : 299,0524; trouvé : 299.0602.

 $1-(4-bromobenzylidène)-2-(4-thiocyanatophényl)hydrazine (2h) : Solide jaune ; Rendement 83 \% ; mp = 111-113 °C ; IR (vmax, cm-1) : 3427,48, 3339,89, 3213,03, 2920,65, 2146,96, 1708,08, 1625,62, 1592,74 , 1481,86, 1453,57, 1360,12, 1325,91, 4,65, 1221,13, 1139,17, 1034,00, 858,95, 817.13, 739.36, 671.84 ; RMN 1H (400 MHz, CDCl3) <math>\delta$ ppm : 7,80 (s, 1H, NH), 7,66 (s, 1H, CH), 7,51 (m, 4H, Ar), 7,45–7,48 (m, 2H, Ar), 7,11 –7,14 (m, 2H, Ar); RMN 13C (100 MHz, CDCl3) δ ppm : 146,2, 138,0, 134,1, 133,7, 132,0, 127,9, 123,1, 114,2, 112,2, 112,1 ; HRMS (ESI) : m/z calculé. pour C14H10BrN3S [M + H]+ : 333,9844; trouvé : 333.9779.

2.2. Analyse par diffraction des rayons X

Un monocristal de bonne qualité du composé 11 a été obtenu par évaporation lente d' une solution utilisant un solvant éthanol. Le cristal a été monté dans sa plus grande dimension et utilisé pour la collecte de données. Les données d'intensité ont été collectées sur un système de détection de zone Bruker Smart CCD utilisant le rayonnement MoK α (0,71073 Å) en mode de balayage $\omega-\varphi$. Les données ont été réduites à l'aide de SAINT-Plus [45]. La structure a été résolue par méthodes directes et affinée sur F2 en utilisant le package SHELX-97 [46] . Tous les atomes non hydrogène ont été raffinés de manière anisotrope. Comme les hydrogènes n'étaient pas facilement révélés par les cartes de Fourier différentes, ils étaient inclus dans les positions idéales avec des valeurs U isotropes fixes, et ils roulaient avec leurs atomes non hydrogène respectifs. La carte de Fourier des différences, après affinement,

était essentiellement sans particularité dans tous les cas. Les calculs du plan moyen ont été réalisés à l'aide du programme PARST [47]. Les diagrammes et le matériel de publication ont été générés à l'aide d'ORTEP-3 [48] PLATON [49], CAMERON [50] et DIAMOND [51]. Les fichiers CIF sont déposés au Cambridge Crystallographic Data Centre, le numéro de dépôt du composé 1I est CCDC-2251369. Ces données peuvent être obtenues gratuitement sur https://www.ccdc.cam.ac.uk/ (consulté le 8 janvier 2024) [ou depuis le Cambridge Crystallographic Data Centre (CCDC), 12 Union Road, Cambridge CB2 1EZ, Royaume-Uni ; télécopie : +44(0)1223-336033 ; email : deposit@ccdc.cam.ac.uk].

3. Résultats et discussion

Des tentatives de thiocyanation du noyau aromatique ont été tentées dans plusieurs conditions. Un examen des nombreux réactifs utilisés indique que les stratégies de thiocyanation peuvent être généralisées de manière mécaniste. L'approche la plus courante consiste à générer un électrophile SCN+ à partir de l'anion thiocyanate, suivi de l'ajout de l'électrophile au cycle aryle et d'une abstraction de protons [32,36,44]. La deuxième approche implique l'oxydation du substrat pour former un cation radical qui facilitera une attaque directe par l' anion SCN−. Cette espèce résultante peut subir une abstraction de radicaux hydrogène pour former le produit [34]. Une autre approche encore serait l'oxydation de l'anion thiocyanate en radical SCN et l'ajout du radical sur le substrat pour générer un radical carboné thiocyané. Le transfert d'un électron du radical carboné entraînerait la formation d'un carbocation qui subit une perte de protons [35]. Le complexe π ou la paire d'ions formée entre le substrat et l'oxydant peut subir une attaque par l' anion SCN− pour former un radical carboné thiocyané et le transfert ultérieur d'un transfert d'électrons génère un carbocation qui forme le produit par perte de protons [39]. Parmi ces stratégies, la formation et la réaction de SCN+ électrophiles constitueraient un processus plus simple et plus pratique permettant de tirer parti du caractère nucléophile des substrats tels que les anilines. Dans ce contexte, nous avons décidé d'étudier la thiocyanation électrophile de l'aniline en utilisant l'électrophile SCN+ .

Dans notre recherche d'une procédure de thiocyanation plus douce et plus pratique, nous avons exploré diverses conditions de réaction impliquant l'interaction du NBS avec un thiocyanate de métal alcalin. Nos résultats indiquent que le NBS, associé au thiocyanate de potassium dans l'éthanol comme solvant, donne des résultats optimaux. Pour étudier l'efficacité de cette réaction, l'aniline a été choisie comme substrat modèle et diverses expériences ont été menées pour évaluer la concentration du réactif et le solvant potentiel. Les résultats résumés dans le tableau 1 indiquent que l'éthanol serait le solvant le plus efficace. Compte tenu des attributs de la chimie verte et du respect de l'environnement, l'éthanol a été choisi comme solvant pour les réactions de thiocyanation. Grâce à des études d'optimisation, nous avons déterminé qu'un rapport molaire 1:2:1 aniline/KSCN/NBS dans l'éthanol à température ambiante (27 °C) offrait les meilleures conditions pour une conversion complète dans un temps de réaction court, ce qui entraînait le rendement le plus élevé de Produit 4-thiocyanatoaniline. Sur cette base, la thiocyanation d'anilines substituées et de dérivés de 1-(benzylidène substitué)-2-phénylhydrazine a été réalisée en utilisant le N-thiocyanatosuccinimide (NTS) généré in situ.

Tableau. O partianisation des mons ditions de l'aniline.

Eptrée	Solvant	KSCN KSCN	NBS NBS	Temps Temps	Cède un Cède un
		((£ (g))	(<u>∉</u> (≨ q)	_{h/n} h/min	_(%) (%)
11	DMSO DMSO	2	1 1	2 h ^{2 h}	₆₀ 60
22	ETCD ETCD	22	11	1,51ḥ5 h	₅₀ 50
3 3	DCM DCM	2	11	^{1,5} 1,5 h	70 70
4	DMF ^{DMF} THF	2 2 2	11	2 h 2 h 1 h	⁵⁰ 50
5 5 6	THF Dioxane	2	11	1,5 ¹ հի	60 40 60
67	Dioxane Acétonitrile	2	11	1 h1,5 h	₈₀ 40
7 8	Acéton itride H	2/2	11	45 m j∤n	85 80
8 9	MeOH EtOH	2 2	1 0,25	1 h 45 min 1 h 1	⁷⁰ 85
10 9 11	EtOH EtOH	2 2	0,50 0,25 0,75	h 1 h 1 h 1	85 90 70
1012	EtOH EtOH	2	0,50 1	20 ^þ min	₉₈ 85
Aniline (1,0 mmol), N-bromosuccinimide (1,6 mmol), KSCN (2,1 mmol); a Rendements isolés.					90
12	EtOH	2	1	20 min	98

Aniline of the farmism of the structure of the structure

thingyanate alrepotaseiron provies advise dua Nothingyan at naturalisional de Gratilote (média tecaretude) e thiocyanate eléapobilite charge as ité action a raa action and a communitation de la communitation bemargaria de la comparta del la comparta de la comparta de la comparta del la comparta de la comparta del la comparta de la comparta del la compa élincliéraphilltoenspositionipar : Ratlaisuittenément inime idearge positive se développe en position ni- para tout en Lójèneexteaituelécoploirecattaqsisides Natrioexteanaisseaurocànian formacio dudisaputo à omacaultasi teurion en thiocyanate. étiteindre nappositiée peracetoen mét lédidation amét l'inous un common ditéis Padela suite, le produit succ- (Figure 2). Pour ปซาเงสราสไขาเปกตะเทอมหาโลการ์สุดรีเอกาลมูลดู labbutsเอดมูลกองการเกาเทาide généré in situ dans étbanovichenpenature autoroaluri biatetra (2 FigQ) el 29 s Piontéressante da potes a del cérgit rèth fotologique, produitadone autisé લક્કાં (egriges fish ne પકાન્કાપીલેંગ્ર કાર્યા હાર્યા કાર્યા કાર epantetionistriguantel a ধ កំពុម្ភានមានការការដែល (ឧទ្ធប្រាស់ lestivité stessant de noter que les donneurs d'électrons et les céartions de thie avanation. Brut dans compresón as continues a chritical de the substitution de la continue de transfer de la continue d le résetten s'aston eduite exelusivement baungestante pere fàitlinversen heargemens se perentatives ont un livresent donné lieva à des produits enthestrigry apéqués ionne. 3) . Res la suite en que avons étudié 1 alabay viden by Julian and Juli Lagol-henzylidène-12-phénylhydrazines (lagorles). Pad itions décrites as donné d'effet producitérivé, la 1benzyistèpea2r(behisynvenatss)hébyl)hystrazine eves sus andangers impressionamon en 1-benzyi-95%. Divers reśriyenden legryligen substitue ្រាប់ក្នុងប្រជាព្រះ ine portant de l'électronidène -2-phénylhydrazine dans le retrait des substituants tels que les groupes bromo, chloro, fluoro et nitro présentait de bons résultats benzylidene-2-(4-thiocyanatophenyi)nydrazine, avec un rendement impressionnant de 95 %. Divers des rendements avec une régiosélectivité élevée. Cependant, les groupes donneurs d'électrons étudiés Dérives de 1-(benzylidene substitue)-2-pnénylhydrazine porteurs d'électrons n'a pas donné les produits thiocyanés (Figure 4). Les composés synthétisés ont été les substituants tels que les groupes bromo; chioro, fluoro et nitro ont presente de bons rendements avec caractérisé par des techniques IR. RMN et spectrométrie de masse, et enfin, la structure naute régioselectivité. Cependant, les groupes donneurs d'électrons étudies n'ont pas donne a été établi de manière convaincante par analyse par diffraction des rayons X sur monocristal de 1 litre (Figure 5 et les produits thiocyanes (Figure 4). Les composes synthétises ont été caractérisés par Figures S1 à S91. Documents supplémentaires). Techniques IR, RMN et spectrométrie de masse, et enfin, la structure a été convaincante

établi par analyse par diffraction des rayons X sur monocristal de 1l (Figure 5 et Figures S1 à S91, Matériel supplémentaire).

484 Chimie 2024, 6, POUR EXAMEN PAR LES PAIRS

Chimie Chimie 2024, 2024, 6, POUR EXAMEN PAR LES PAIRS

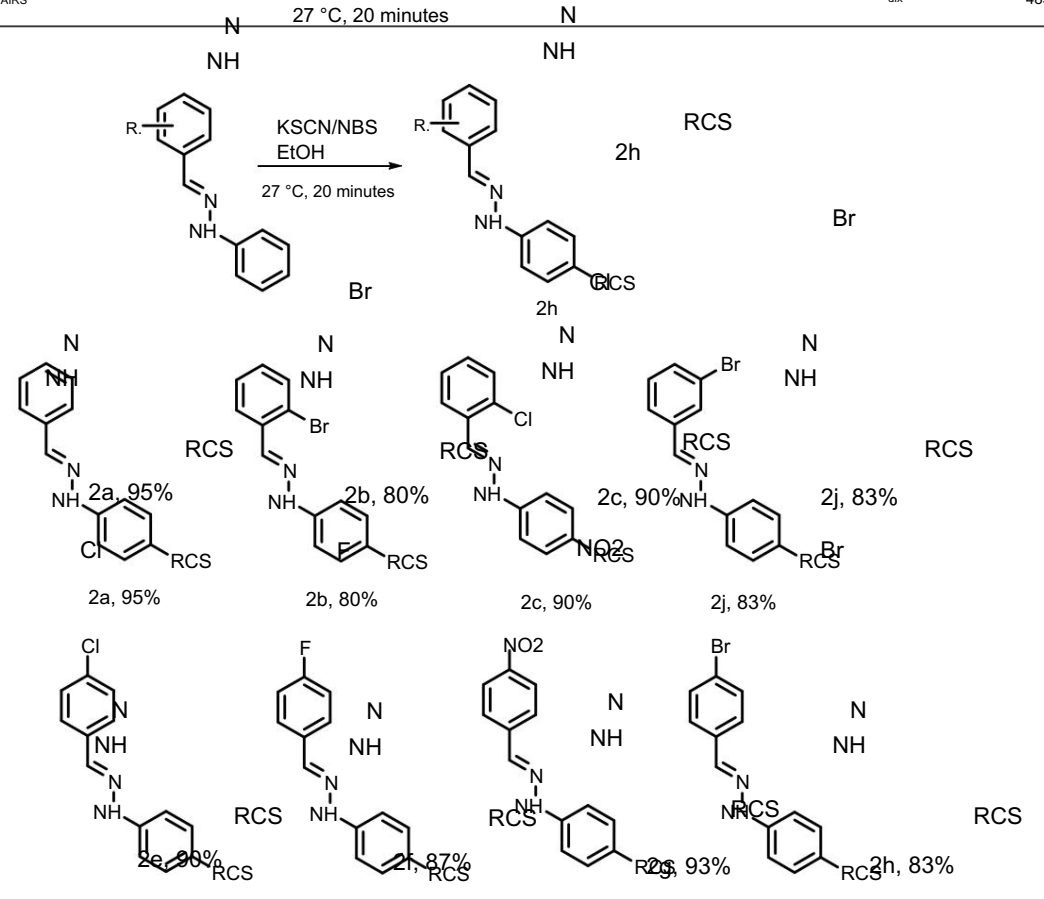


Figure 4. 1-(ben 29) idène substitué) 22-(47) idecyanatophényl hy describes synthétasées %

Floure 4. (1997 Heline) 18 stitle 1992 1991 1992 1991 1992 1991 1992 1991 1992 19

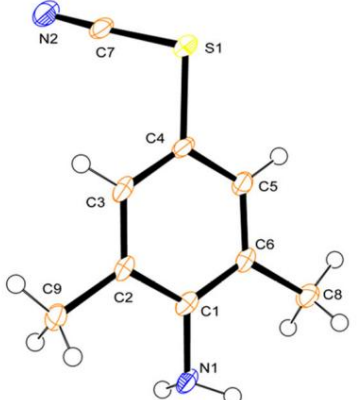


Figure 5. Vue ORTEP de la molécule 1I avec marquage atomique (ellipsoïdes thermiques dessinés à 50%

Figure 5. Vue ORTEP de la molécule 11 avec marquage atomique (ellipsoïdes thermiques dessinés à 50% probabilité).

probabilité).

probabilité).

probabilité).

probabilité).

probabilité).

nyl)hydrazines (Ar-CH=N-NH-Ph), il était évident que bien que le substrat ait deux arvi pour sue le substitué)-2-(phényl) pour sue le substitué pour sue le substitué)-2-(phényl) pour sue le substitué processe de fillo cyanation sur le le substrat ait deux arvi pour substitué)-2-(phényl) des hydrazines par le processe pour le substrat ait deux cycles processe pour le processe pro

de l'imine est un nucléophile plus pauvre et hésite donc à attaquer l'électrophile.

4. Conclusions

En conclusion, nous présentons une méthode efficace, écologique et expérimentalement simple. pour la thiocyanation sélective des anilines substituées et du 1-(benzylidène substitué)-2-

phénylhydrazines. Le protocole, utilisant NBS et KSCN à température ambiante (27 °C), a démontré d'excellents rendements pour tous les dérivés, soulignant son caractère pratique et son efficacité. La nature respectueuse de l'environnement du protocole de thiocyanation ouvre la voie à diverses applications en chimie médicinale et dans des domaines connexes. Les résultats actuels feraient non seulement progresser la méthodologie de la thiocyanation sélective, mais ouvriraient également la voie au développement de nouveaux composés, offrant ainsi des perspectives passionnantes pour de futures recherches et applications pratiques.

Documents supplémentaires : Les informations complémentaires suivantes peuvent être téléchargées sur : https://www.mdpi.com/article/10.3390/chemistry6030027/s1, Figures S1 à S91 : Les spectres RMN 1H et 13C , les spectres de masse haute résolution de tous les composés synthétisés ainsi que les spectres IR de composés représentatifs et l'analyse par diffraction des rayons X du composé 1I peuvent être trouvés dans le contenu électronique supplémentaire de ce document. article. Tableau S1 : Données cristallines et paramètres de raffinement pour le c Tableau S2 : Interactions non liées et liaisons hydrogène possibles (Å, °) pour le composé 1 (D-donneur ; A-accepteur ; H-hydrogène).

Contributions des auteurs : AMMM, Expériences ; GK, Compilation ; KS, Révision ; VDR, Analyse ; VAN, Conceptualisation. Tous les auteurs ont lu et accepté la version publiée du manuscrit

Financement : Vipin A. Nair remercie avec gratitude le financement reçu sous la forme d'une subvention de recherche (Grant No. 02/0447/21/EMR-II) du Groupe de développement des ressources humaines, Conseil de la recherche scientifique et industrielle, gouvernement indien. . Khajamohiddin Syed exprime sa sincère gratitude à l'Université de Zululand (numéro de subvention P419) pour son soutien financier. Vaddi Damodara Reddy remercie l'Université de Zululand, en Afrique du Sud, de l'avoir nommé chercheur invité.

Déclaration de disponibilité des données : les contributions originales présentées dans l'étude sont incluses dans l'article/les documents supplémentaires, des demandes de renseignements supplémentaires peuvent être adressées aux auteurs correspondants.

Conflits d'intérêts : Les auteurs ne déclarent aucun conflit d'intérêts, que ce soit de nature financière ou personnelle.

Les références

- 1. Chen, H.; Shi, X.; Liu, X.; Zhao, L. Progrès récents des réactions directes de thiocyanation. Org. Biomol. Chimique. 2022, 20, 6508-6527. [Référence croisée] [Pub Med]
- 2. Gao, M.; Vuagnat, M.; Chen, MON; Pannecoucke, X.; Jubault, P.; Besset, T. Conception et utilisation de réactifs électrophiles de thiocyanation et de sélénocyanation: une nouvelle tendance pour la construction de composés contenant du SCN et du SeCN. Chimique. EUR. J. 2021, 27, 6145-6160. [Référence croisée] [Pub Med]
- Kelly, TR; Kim, MH; Curtis, AD Correction de la structure et synthèse de la benzothiazinone naturelle BMY 40662. J.
 Org. Chimique. 1993, 58, 5855-5857. [Référence croisée]
- 4. Johnson, tuberculose ; Douglass, IB L'action du chlore sur les thiocyanates. Confiture. Chimique. Soc. 1939, 61, 2548-2550. [Référence croisée]
- 5. Castanheiro, T.; Suffert, J.; Donnard, M.; Gulea, M. Progrès récents dans la chimie des thiocyanates organiques. Chimique. Soc. Tour. 2016, 45, 494-505. [Référence croisée] [Pub Med]
- Potasse, S.; Rozen, S. Une nouvelle synthèse de sulfures de trifluorométhyle utilisant des thiocyanates et du fluoroforme. J. Fluor. Chimique. 2014, 168, 172-176. [Référence croisée]
- 7. Bayarmagnaï, B.; Matheis, C.; Jouvin, K.; Goossen, LJ Synthèse de difluorométhylthioéthers à partir de difluorométhyltriméthylsilane et d'organothiocyanates générés in situ.

 Angew. Chimique. Int. Éd. Anglais. 2015, 4, 5753-5756. [Référence croisée] [Pub Med]
- 8. Lu, X.; Wang, H.; Gao, R.; Soleil, D.; Bi, X. Synthèse assistée par micro-ondes de disulfures asymétriques. RSC Adv. 2014, 4, 28794-28797.
- 9. Renard, PY; Schwebel, H.; Vayron, P.; Josien, L.; Valleix, A.; Mioskowski, C. Accès facile aux phosphonothioates. Chimique. EUR. J. 2002,
- 10. Érian, AW ; Sherif, SM La chimie des esters thiocyaniques. Tétraèdre 1999, 55, 7957-8027. [Référence croisée]
- 11. Patai, S. Chimie des cyanates et de leurs dérivés thio ; John Wiley & Sons Ltd. : Hoboken, NJ, États-Unis, 1977 ; ISBN 978-0471994251.
- 12. Lui, HY; Faulkner, DJ; Choumsky, JS; Hong, K.; Clardy, J. Un thiocyanate sesquiterpénique et trois isothiocyanates sesquiterpéniques de l'éponge Trachyopsis aplysinoides. J.Org. Chimique. 1989, 54, 2511-2514. [Référence croisée]
- 13. Burreson, BJ; Scheuer, PJ; Plus fin, J.; Clardy, J. 9-Isocyanopupukeanane, une allomone d'invertébré marin avec un nouveau squelette sesquiterpénique. Confiture. Chimique. Soc. 1975, 97, 4763-4764. [Référence croisée]
- 14. Patil, AD; Freyer, AJ; Reichwein, R.; Carte, B.; Killmer, LB; Robinette, L.; Johnson, RK; Faulkner, DJ Fasicularin, un nouvel alcaloïde tricyclique de l'ascidie Nephteis fasciularis avec une activité sélective contre un organisme déficient en réparation de l'ADN. Tétraèdre Lett. 1997, 38, 363-364. [Référence croisée]

15. Jiménez, C. ; Crews, P. Nouveaux acides aminés dérivés d'éponges marines 13. Dérivés supplémentaires de psammaplin de Psammaplysilla purpurea. Tétraèdre 1991, 47, 2097-2102. [Référence croisée]

- 16. Prawat, H.; Mahidol, C.; Kaweetripob, W.; Prachyawarakorn, V.; Tuntiwachwuttikul, P.; Ruchirawat, S. Isocyanures, isothiocyanates, thiocyanates et formamides sesquiterpéniques de l'éponge thaïlandaise Halichondria sp. Tétraèdre 2016, 72, 4222-4229. [Référence croisée]
- 17. Capon, RJ; Skène, C.; Liu, EHT; Lacey, E.; Gill, JH; Heiland, K.; Friedel, T. L'isolement et la synthèse de nouveaux dithiocyanates nématocides à partir d'une éponge marine australienne, Oceanapia sp. J.Org. Chimique. 2001, 66, 7765-7769. [Référence croisée] [Pub Med]
- 18. Szajnman, SH; Yan, W.; Bailey, Benelux; Docampo, R.; Elhalem, E.; Rodriguez, JB Conception et synthèse de dérivés d'aryloxyéthylthiocyanate en tant qu'inhibiteurs puissants de la prolifération de Trypanosoma cruzi. J.Méd. Chimique. 2000: 43, 1826-1840. [Référence croisée] [Pub Med]
- 19. Abreu, MOI; Rzeszotarski, W.; Kyle, DJ; Hiner, R. Préparation du thiocyanate d'oxopyrazolinyle et des bis(oxopyrazolinyl) disulfures comme antagoniste du facteur de libération des corticotropines. Brevet américain 5063245 A, 5 novembre 1991.
- 20. Wössner, N.; Alhalabi, Z.; González, J.; Swyter, S.; Gan, J.; Schmidtkunz, K.; Zhang, L.; Vaquero, A.; Ovaa, H.; Einsle, O.; et coll.

 Sirtuin 1 inhibant les thiocyanates (S1th) une nouvelle classe d'inhibiteurs sélectifs d'isotype des lysine désacétylases dépendantes du NAD+. Devant.

 Oncol. 2020, 10, 657-671. [Référence croisée] [Pub Med]
- 21. Laali, KK; Greves, WJ; Zwarycz, AT; Correa Smits, SJ; Troendle, FJ; Borosky, GL; Akhtar, S.; Manne, A.; Paulus, A.; Chanan- Khan, A.; et coll. Synthèse, étude d'amarrage informatique et évaluation biologique d'une bibliothèque de curcuminoïdes hétérocycliques dotés d' une activité antitumorale remarquable. ChemMedChem 2018, 13, 1895-1908. [Référence croisée] [Pub Med]
- 22. Cho, CC; Li, SG; Lalonde, TJ; Yang, KS; Yu, G.; Qiao, Y.; Xu, S.; Liu, WR Réutilisation d'un médicament contre le virus de type papaïne du SRAS-CoV-2 protéase. ChemMedChem 2022, 17, e202100455. [Référence croisée] [Pub Med]
- 23. Chakrabarty, M.; Sarkar, S. Une thiocyanation écologique d'indoles et de carbazoles à médiation argileuse. Tétraèdre Lett. 2003, 44, 8131-8133. [Référence croisée]
- 24. Iranpoor, N.; Firouzabadi, H.; Azadi, R. Un nouveau liquide ionique diphénylphosphinite (IL-OPPh2) comme réactif et solvant pour la bromation, la thiocyanation ou l'isothiocyanation hautement sélectives d'alcools et d'éthers triméthylsilyliques et tétrahydropyranyles. Tétraèdre Lett. 2006, 47, 5531-5534. [Référence croisée]
- 25. Kumar, A.; Ahmad, P.; Maurya, RA α-thiocyanation directe de composés carbonyle et β-dicarbonyle à l'aide de potassium peroxydisulfate cuivre (II). Tétraèdre Lett. 2007, 48, 1399-1401. [Référence croisée]
- 26. Gitkis, A.; Becker, JY Thiocyanation anodique de composés aromatiques mono- et disubstitués. Électrochimie. Actes. 2010, 55, 5854-5859. [Référence croisée]
- 27. Yadav, JS; Reddy, BVS; Krishna, BBM IBX: Un oxydant nouveau et polyvalent pour la thiocyanation électrophile des indoles, du pyrrole et des arylamines. Synthèse 2008, 23, 3779-3782. [Référence croisée]
- 28. Das, B.; Kumar, AS Thiocyanation efficace des indoles à l'aide d'acide para-toluène sulfonique. Synthé. Commun. 2010, 40, 337-341.
- 29. Ichake, SS; Rajawinslin, RR; Kavala, V.; Villuri, BK; Yang, HT; Kuo, C.-W.; Yao, C.-F. Thiocyana- médié par le N-bromosuccinide tion de N-oxydes d'isooxazoline fusionnés au cyclohexène. Asiatique J. Org. Chimique. 2016, 5, 343-352. [Référence croisée]
- 30. Akhlaghinia, B.; Pourali, AR; Rahmani, M. Méthode efficace et nouvelle pour la thiocyanation de composés aromatiques utilisant de l'acide trichloroisocyanurique/thiocyanate d'ammonium/SiO2 humide. Synthé. Commun. 2012, 42, 1184-1191. [Référence croisée]
- 31. Nair, V.; George, TG; Nair, LG; Panicker, SB Une synthèse directe de thiocyanates d'aryle utilisant du nitrate d'ammonium de cérium (IV). Tétraèdre Lett. 1999, 40, 1195-1196. [Référence croisée]
- 32. Yadav, JS; Reddy, BVS; Shubashree, S.; Sadashiv, K. lodine/MeOH: Un système réactif nouveau et efficace pour la thiocyanation des aromatiques et hétéroaromatiques. Tétraèdre Lett. 2004, 45, 2951-2954. [Référence croisée]
- 33. Jadhav, VK; Copain, RR; Wadgaonkar, PP; Salunkhe, MM Une synthèse facile de thiocyanates d'aryle utilisant du perborate de sodium. Synthé. Commun. 2001, 31, 3041-3045. [Référence croisée]
- 34. Wu, G.; Liu, Q.; Shen, Y.; Wu, W.; Wu, L. Thiocyanation régiosélective de composés aromatiques et hétéroaromatiques utilisant thiocyanate d'ammonium et oxone. Tétraèdre Lett. 2005, 46, 5831-5834. [Référence croisée]
- 35. Poêle, XQ; Lei, MON; Zou, JP; Zhang, W. Mn (OAc) 3 a favorisé la thiocyanation radicalaire régiosélective des indoles et des anilines. Tétraèdre Lett. 2009, 50, 347-349. [Référence croisée]
- 36. Iranpoor, N.; Firouzabadi, H.; Khalili, D.; Shahin, R. Une nouvelle application de l'azodicarboxylate de diéthyle: thiocyanation efficace et régiosélective des amines aromatiques. Tétraèdre Lett. 2010, 51, 3508-3510. [Référence croisée]
- 37. Yadav, JS; Reddy, BVS; Krishna, AD; Reddy, CS; Narsaiah, AV Thiocyanation électrophile favorisée par le chlorure ferrique (III) de composés aromatiques et hétéroaromatiques. Synthèse 2005, 2, 961-964. [Référence croisée]
- 38. Murthy, YLN; Govindh, B.; Diwakar, BS; Nagalakshmi, K.; Venu, R. Technologie de réaction pure assistée par micro-ondes pour la thiocyanation régiosélective d'anilines et d'indoles substitués en milieu solide. J.Iran. Chimique. Soc. 2011, 8, 292-297. [Référence croisée]
- 39. Memarian, RH; Mohammadpoor-Baltork, I.; Nikoofar, K. Thiocyanation favorisée par DDQ de composés aromatiques et hétéroaromatiques. Peut. J. Chem. 2007, 85, 930-937. [Référence croisée]
- 40. Wu, J.; Wu, G.; Wu, L. Thiocyanation de composés aromatiques et hétéroaromatiques à l'aide de thiocyanate d'ammonium et d'I2O5 . Synthé. Commun. 2008, 38, 2367-2373. [Référence croisée]
- 41. Mahajan, États-Unis ; Akamanchi, KG Méthode facile pour la thiocyanation d'arènes activées utilisant de l'acide iodique en combinaison avec thiocyanate d'ammonium. Synthé. Commun. 2009, 39, 2674-2682. [Référence croisée]
- 42. Khazaei, A.; Zolfigol, MA; Mokhlesi, M.; Panah, FD; Sajjadifar, S. Thiocyanation catalytique simple et très efficace des aromatiques composés en milieu aqueux. Aide. Chim. Acta 2012, 95, 106-114. [Référence croisée]

43. Prakash, O. ; Kaur, H. ; Pundeer, R. ; Dhillon, RS ; Singh, SP Une méthode améliorée médiée par l'iode (III) pour la thiocyanation des 2-arylindan-1,3-diones, des phénols et des anilines. Synthé. Commun. 2003, 33, 4037-4042. [Référence croisée]

- 44. Toste, FD; Stefano, VD; Pourtant, IW Une procédure polyvalente pour la préparation de thiocyanates d'aryle utilisant le N-thiocyanatosuccinimide (NTS). Synthé. Commun. 1995, 25, 1277-1286. [Référence croisée]
- 45. Bruker. SMART, SAINT-Plus, SADABS; Bruker Axes Inc.: Madison, WI, États-Unis, 1998.
- 46. Sheldrick, directeur général Une brève histoire de SHELX. Acta Cristal. 2008, 64, 112-122. [Référence croisée] [Pub Med]
- 47. Nardelli, M. Paramètres d'asymétrie des anneaux issus des déplacements atomiques hors plan. Acta Cristal. 1983, 39, 1141-1412. [Référence croisée]
- 48. Farrugia, LJJ ORTEP-3 pour Windows une version d'ORTEP-III avec une interface utilisateur graphique (GUI). Appl. Cristal. 1997, 30, 565.
- 49. Spek, AL Validation de la structure en cristallographie chimique. Acta Cristal. 2009, 65, 148-155. [Référence croisée] [Pub Med]
- 50. Watkin, DJ; Prout, CK; Pearce, LJ CAMERON; Laboratoire de cristallographie chimique, Université d'Oxford; Oxford, Royaume-Uni, 1996.
- 51. Brandebourg, K.; Putz, H. Crystal Impact; GbR: Bonn, Allemagne, 2005.

Avis de non-responsabilité/Note de l'éditeur : Les déclarations, opinions et données contenues dans toutes les publications sont uniquement celles du ou des auteurs et contributeurs individuels et non de MDPI et/ou du ou des éditeurs. MDPI et/ou le(s) éditeur(s) déclinent toute responsabilité pour tout préjudice corporel ou matériel résultant des idées, méthodes, instructions ou produits mentionnés dans le contenu.